331

液相粒子 B203 を含む銅単結晶の高温降伏応力

 京大・エ
 〇尾中
 晋

 京大・エ
 三浦
 精

 東京エ大・総理工
 加藤
 雅治

1. 序論

硬く塑性変形しにくい粒子を含む分散強化合金の低温における降伏挙動は、オロワン機構により定量的に説明される。分散粒子による材料の強化は拡散が活発になるような高温域においても有効であり、多くの実用的な耐熱金属材料にも応用されている。しかし、高温における降伏挙動にはオロワン機構で説明できないものがあり、高温域で粒子が粒内の転位の運動に及ぼす影響については未だ不明の点が数多くある。

分散粒子を含む材料の高温強化の機構を明らかにするためには降伏応力の温度依存性や歪速度依存性を調べ、粒子の性質と関連させた議論をすることが不可較となる。異なる粒子を含む材料における結果を比較することにより、強化の本質的な原因が粒子のいかなる性質に基づくものであるかをを明らかにすることがができる。しかし著者らの知る限り、過去におけるこのような研究は材料の塑性変形時に弾性変形をする粒子の弾性的な性質の違いの比較のみに限られたものとなっている。

本研究では非晶質B203粒子を含む銅単結晶における 降伏応力の温度依存性と歪速度依存性について報告す る。B203粒子は他の酸化物分散粒子と異なり、低温で は硬く塑性変形しない粒子として振舞うものの高温で は液相状となる。

2. 実験方法

2. 1. 試料

板状の Cu-0.031mass XB 固溶体合金単結晶(1.2mm x 20 mm x 150 mm)を真空中で Bridgman 法により育成した。 B203分散粒子を得るため、 Cu-B 単結晶を Cu-Cu20-Al203 の混合粉末(質量比 1:1:2) に埋めて 1173 K で 36 h の内部酸化処理を行った。

比較のため Cu-0.080mass XSi 固溶体合金単結晶を Bridgman 法により育成し、 1123 K, 24h の内部酸化 処理により SiO₂ 分散粒子を含む銅単結晶を作成した。 Fig. 1 に非晶質酸化物 B_2O_3 と SiO_2 における粘性係数の温度依存性を示す [1-3]。 ともに温度の増大につれ減少する傾向を示すものの、 B_2O_3 における値は SiO_2 の値に比べはるかに小さいことがわかる。

これらの試料は化学研磨により 0.7 mm まで減厚した後、放電加工によりゲージ長さ 30 mm, 断面 3.0 mm x 0.7 mm の試験片を切り出した。各試験片の引張方位は[216]に近い。電解研磨の後、1173 K, 24 h の真空焼鈍を行い引張試験片とした。

透過型電子顕微鏡と走査形電子顕微鏡による観察の結果、試験片中の $B_2 O_3$ 粒子や SiO_2 粒子は球形であることがわかった。各試験片における粒子の体積率,f と算術平均直径,d は、 $Cu-B_2 O_3$; f=0.55%, d=104 nm, $Cu-SiO_2$; f=0.66%, d=75nm, c ある。

2. 2. 引張試験

引張試験はインストロン型試験機を用いて温度 77 から 1073 K の範囲で行った。試験中の温度の変動は土 1.5 K 以内に抑え、室温以上の温度域での試験はアルゴン雰囲気とした。降伏応力の温度依存性はせん断歪速度を 5.6 x 10⁻⁵/s として調べたが、測定は一本の単結晶試験片を用い、種々の温度で繰り返し変形して行った。室温での測定の後に 1073 K まで加熱し、その後、測定と冷却を 77 K まで繰り返した。降伏応力は塑性歪が 1 x 10⁻⁴ のときの応力として定義したが、各測定時に試験片に加える歪は弾性限をわずかに越える程度、 5 x 10⁻⁴ 以下、とした。降伏応力の歪速度依存性も同一の単結晶試験片を種々の歪速度で繰り返し変形することにより行った。温度 873 もしくは1073 K、せん断歪速度 5.6 x 10⁻⁶ から 5.6x 10⁻⁴/s の範囲で測定した。

3. 実験結果

3. 1. 臨界分解せん断応力の温度依存性

Fig. 2 に $Cu-B_2O_3$ と $Cu-SiO_2$ 合金のせん断歪速度 $5 \times 10^{-5}/s$ における臨界分解せん断応力(CRSS)の温

度による変化を示す。いずれの合金においても CRSS は温度の増大と共に減少した。 Cu-SiO2 における粒子間隔は Cu-B2O3 に比較して短いため、Cu-SiO2 の CRSS は Cu-B2O3 より高い値を示している。いずれの合金においても第一回目の室温で測定された CRSS の値(close symbol)は冷却時に測定された室温の CRSS の値(open symbol)と一致しており、これは各温度で繰り返し変形されたときの加工硬化の影響が無視でき得るものであることを示している。

室温における $Cu-B_2O_3$ の CRSS は同程度の体積率と直径の粒子を含む $Cu-SiO_2$ における CRSS[4] とほぼ一致しており、低温での $Cu-B_2O_3$ の降伏は $Cu-SiO_2$ と同じくオロワン機構により説明される[5,6]。

母相、銅、における剛性率の温度依存性を補正して二つの合金における CRSS の温度依存性を比較するため、規格化した臨界分解せん断応力(n-CRSS)、 $\{(\tau_{\mathsf{T}}/\mu_{\mathsf{T}})(\tau_{\mathsf{R}\mathsf{T}}/\mu_{\mathsf{R}\mathsf{T}})\}$ 、の温度依存性を Fig. 3に示す。ここで、 τ_{T} と μ_{T} は、それぞれ温度 T における CRSS と剛性率 [7]、 $\tau_{\mathsf{R}\mathsf{T}}$ は最初に測定した室温(300 K)における CRSS、 $\mu_{\mathsf{R}\mathsf{T}}$ は室温における剛性率 [7]である。Fig. 3 より、いずれの合金においても室温以下の低温域では n-CRSS の値は一定であるもの、室温以上の温度域では温度の増大と共に単調に減少することがわかる。しかし、その減少の割合は小さく、高温においても Cu -B203 と Cu -Si02 は低温における強度のほとんどを保持していることがわかる。

3. 2. 臨界分解せん断応力の歪速度依存性

Fig. 4 に剛性率で補正した CRSS (mc-CRSS)、 $\{\tau_T(\mu_{RT}/\mu_T)\}$ 、の温度 873 と 1073 K における歪速度依存性を示す。いずれの合金においてもmc-CRSS と歪速度の対数の間には、実験条件の範囲で線形関係が成立していることがわかる。このような線形関係は Cu-Al $_2$ O $_3$ や Cu-BeO など他の銅基分散強化合金についても成立することが知られている[4]。Shewfelt と Brown も Cu-SiO $_2$ について本実験と同様な条件で mc-CRSS と歪速度の関係を報告しているが、Fig. 4 に示す今回得られた Cu-SiO $_2$ の結果は彼らの結果とよく一致している[4]。

4.考察

4.1.銅母相中におけるB2O3粒子の状態変化

ここでは非晶質 B₂O₃ と母相の銅の変形挙動の比較を行う。内部酸化と同じ熱処理を行った後の純銅単結晶の CRSS は 2 MPa 程度と見積られている[5]。 せん

断応力 τ が作用することによりせん断歪速度 γ の ニュートン流動が生じるとき、 粘性係数、 の、 は $\eta = \tau / \dot{\gamma}$ なる式により与えられる。ここで、 B_2O_3 粒子がせん断応力 2 MPa の下、せん断歪速度 5.6 x 10-5/s(今回の実験条件)で変形すると仮定すれば、 粘性係数、 n、 は 4 x 10¹⁸ Ns/m² と求められる。 Fig. 1 に示した B203 における粘性係数の温度依存性 より、約 550 K で B2O3 の ヵ の値は 4x1018 Ns/m² 程度になること、そして約 600 K ではそれよりも2桁 小さくなることがわかる。よって、変形温度が 550 K より高くなるに従い B2O3 粒子の粘性流動を起こすた めのせん断応力は母相、 銅の CRSS よりはるかに小さ くなり、B203 粒子は銅母相の中で液体のように振舞う と見なすことができるようになる。 一方, Fig. 1 に示 すように SiO2 の粘性係数は B2O3 に比較してはるか に大きく、今回の研究における温度範囲では SiO2 粒 子は銅母相の中で常に硬く塑性変形しない状態を保つ と見なせる。

4.2.Cu-B₂O₃ 合金の高温強度

Fig. 3 に示したように B_2O_3 粒子が液相状となる高温域においても $Cu-B_2O_3$ 合金は低温域のオロワン機構で説明される強度の大半を保っており、 $Cu-B_2O_3$ 合金の n-CRSS は $Cu-SiO_2$ 合金に比較しても高い値となっている。また固相状→液相状の状態変化が起こると考えられる 550 K 程度の温度域においても規格化した降伏応力の値、n-CRSS、に大きな変化はみられない。これらのことは液相粒子 B_2O_3 が固相粒子 SiO_2 と同様、もしくはそれ以上に高温強化に有効であることを示している。

Weeks 等は転位とポイドやバブルの相互作用を計算 により求め、それらの間には引力が生じるという結果 を得た[8]。また、Srolovitz 等は、母相/粒子間での 界面拡散や結晶内部での体拡散による緩和が起これば、 粒子の状態(固相、液相、気相、ボイド)に関わらず 転位と粒子の間の相互作用が引力型になることを示し ている[9,10]。 実際、今回の実験条件においても拡散 による緩和は速やかに進行し、Cu-B2O3, Cu-SiO2 いず れの合金においても粒子が転位におよぼす影響が付加 応力の静水圧成分と同じ内圧を持つバブルと同様にな るという計算結果が得られている[9-11]。 転位と粒子 間の相互作用が引力型となるとき、材料が塑性変形を 開始するための条件は、転位の上昇やループの形成で はなく、 母相/粒子間の界面に落ち込んだ転位が界面か ら離脱する過程に支配されるようになる[8,12,13]。こ の離脱過程に必要な外部応力はほぼオロワン応力と同

程度であるとされていたが、 固相以外の粒子を含む、 母相が単結晶である合金で系統的に調べられた例はこれまでになかった。 本研究で示された液相粒子 B₂O₃ を含む合金の高い高温強度は転位と粒子の間の引力型の相互作用に由来するものであり、 これは分散強化合金の高温域における降伏が母相/粒子界面への落ち込んだ転位の界面からの離脱過程により合理的に説明されるものであることを意味する。

最後に本研究が河上記念財団の研究助成金の援助に より行われたことを記し、感謝の意を表します。

参考文献

- A. Napolitano, P.B. Macedo and E.G. Hawkins, J. Am. Ceram. Soc., 48(1965), 613.
- 2. J.E. Shelby, J. Appl. Phy., 45(1974), 5272.
- G. Hetherington, K.H. Jack and J.C. Kennedy, Phys. Chem. Glasses, 5(1964), 130.
- R.S.W. Shewfelt and L.M. Brown, Phil. Mag., 30(1974), 1135.
- R. Ebeling and M. F. Ashby, Phil. Mag., <u>13</u> (1966), 805.
- M. F. Ashby, in "Physics of Strength and Plasticity", ed. by A. S. Argon(MIT Press) 1969, p.113.
- 7. H.J. Frost and M.F. Ashby, in "Deformation-Mechanism Maps", Pergamon Press, 1982, p.20.
- R. W. Weeks, S. R. Pati, M. F. Ashby and P. Barrand, Acta Metall., <u>17</u>(1969), 1403.
- D.J.Srolovitz, M.J.Luton, R. Petkovic-Luton,
 D.M. Barnett and W.D. Nix, Acta Metall., 32 (1984), 1079.
- D.J. Srolovitz, R. Petkovic-Luton and M.J. Luton, Scripta Metall., <u>18</u>(1984), 1063.
- 11. S.Onaka, S.Miura and M.Kato, in preparation.
- E. Artz and D.S. Willkinson, Acta Metall., 34(1986), 1893.
- E.Artz and J.Rösler, Acta Metall., <u>36</u>(1988), 1053.

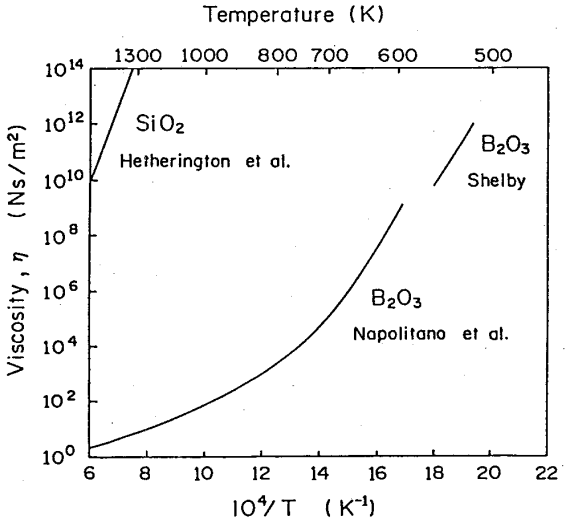


Fig. 1. Relation between log viscosity and 1/T for $B_2\,\theta_3$ and $Si\,\theta_2$.

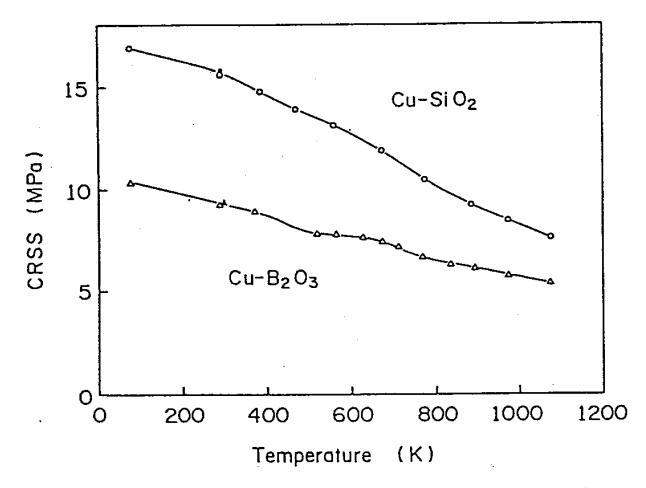


Fig. 2. The temperature dependence of CRSS obtained under a shear strain rate of 5.6 x 10^{-5} /s for Cu-B₂O₃ and Cu-SiO₂ alloys. Close symbols indicate the values obtained by the first tests. Open symbols indicate the values during the cooling runs.

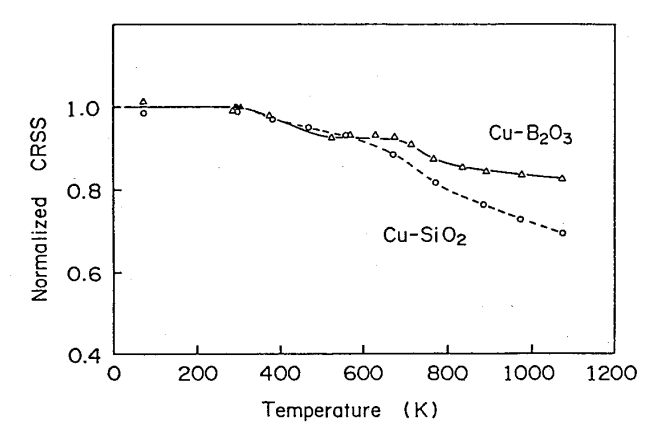


Fig. 3. The temperature dependence of the normalized CRSS for $Cu-B_2O_3$ and $Cu-SiO_2$ alloys.

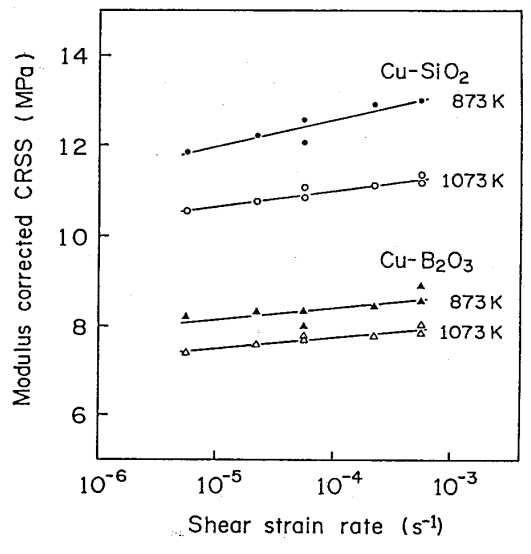


Fig. 4. The modulus-corrected CRSS as a function of strain rate at 873 and 1073K for $Cu-B_2O_3$ and $Cu-SiO_2$ alloys.